

Toluene/Glycerin分散系에서 Toluene의 液滴粒度가 系의 相對粘度에 미치는 影響

許炳琪* · 金基貞 · 隆榮一

*仁荷大学校 工科大学 生物工学科

亞洲大学校 工科大学 化学工学科

(1986년 2월 17일 접수, 1986년 10월 6일 채택)

Effect of Drop Size of Toluene on the Relative Viscosity in the Toluene-Glycerin Dispersion

Byung Ki Hur*, Kee Jeong Kim and Young Il Mok

*College of Engineering, Inha University, Incheon 160, Korea

College of Engineering, Ajou University, Suwon 170, Korea

(Received 17 February 1986; accepted 6 October 1986)

要 約

Toluene/Glycerin分散系에서 分散相인 toluene의 液滴粒度分布가 分散系의 相對粘度에 미치는 영향을 고려하기 위하여 Oldroyd의 相對粘度式으로부터 分散相의 液滴粒度分布를 고려한 相對粘度式을 얻었다.

分散相인 toluene의 부피濃度가 5%에서 25%인 分散系의 相對粘度 実驗結果로부터 toluene/glycerin界面에서의 粘度特性值가 1.696 cp·cm, 実驗值와 誘導된 式의 計算值 사이에 最小誤差 0.24%, 最大誤差 2.06%, 平均誤差 1.109%인 것을 얻을 수 있었다.

Abstract—The successive application of Oldroyd's equation of relative viscosity to tolulene-glycerin dispersion system leads to a equation, expressing the functional relationship among the relative viscosity of the dispersion, volume concentration and drop size distribution.

The experimental results of the tolulene-glycerin dispersions from 5% to 25% of the volume of toluene were tested against the derived equation. The viscosity property of the interface was 1.696 cp·cm. And the errors between experimental viscosities and the values calculated by the proposed model ranged from 0.24% to 2.06%. The average error percentage was 1.109% and the maximum error percentage for the system was 2.06%.

1. 序 論

일般적으로 機械的攪拌에 의하여 생성되는 非相

溶性인 두 液相의 分散狀態는 分散相의 平均 液滴粒度에 따라서 애밀전系(粒度; 1~10 μ)와 分散系(粒度; 50~600 μ)로 分類된다[1]. 이때, 平均 液

滴粒度는 液滴들이 破壞되고 再結合되는 動的 平衡狀態에서의 平均粒度를 의미한다. 液滴粒度 分布는 分散系의 連續相과 分散相의 物理的 性質과 分散相의 부피濃度 및 搅拌強度, 搅拌機의 裝置特性 등에 영향을 받는다[2~5, 24].

分散系는 液滴들이 破壞되는 速度보다 再結合하는 速度가 비교적 빠르기 때문에 불안정한 液-液 分散 狀態를 形成하고 있다. 이런 불안정한 分散系는 热 또는 物質傳達을 위해 서로 섞이지 않는 두 液体를 수송하거나 搅拌시키는 과정에서 발생되는 現象으로, 分散系의 有効粘度는 그系의 移動現象을 解析하는데 중요한 物理的 性質 中의 하나이다. 또한 分散系의 相對粘度는 分散系의 有効粘度와 連續相의 粘度의 比로 정의되어지고 있다[2, 6~8].

液-液 分散系에서 일어나는 現象은 固-液 浮游系에서 발생되는 現象보다 복잡하기 때문에 分散系의 相對粘度에 대한 理論的 式을 誘導하기는 상당히 어렵다. 固-液 浮游系와는 달리 液-液 分散系에서는 液滴 内부에서의 液体의 循環, 分散相과 連續相 界面에서의 部分的인 循環, 液滴들의 变形과 상호작용 및 두 液相 사이의 微細한 相溶 등 복잡한 현상이 발생하여 液-液 分散系의 動的 現象을 理論的으로 解析하기는 상당히 어렵다. 따라서 液-液 分散系의 相對粘度는 固-液 浮游系의 相對粘度에 관한 研究結果로부터 類推하여 解析하였다[1, 9~11]. 이들 研究의 대부분은 液-液 分散系의 相對粘度와 分散相의 부피濃度 사이의 函数關係를 究明하기 위해 임의의 液滴粒度 分布를 형성하고 있는 分散相의 全 液滴을 均一한 液滴들로 형성된 數個의 液滴群으로 나누고, 分散系를 連續相에 分散相의 液滴群이 한 群씩 連續의 形태로 解析하였다. 각 液滴群이 添加되는 과정에서 다음 液滴群이 添加되기 前의 分散 狀態를 擬 連續相으로 간주하였다. 添加되는 分散相各群의 擬 連續相에 대한 부피濃度는 대단히 稀薄하기 때문에, 无限稀釋濃度의 混合溶液系에 대한 理論的 相對粘度式을 各群이 添加되는 分散系의 相對粘度計算에 應用할 수 있다고 가정하여 液-液 分散系의 相對粘度와 分散相의 부피濃度 및 粒度 分布 사이의 函数關係에 대한 数學的 模型을 導出하였다.

誘導된 模型의 타당성을 검토하기 위하여, toluene/glycerin 分散系의 相對粘度와 分散相의濃度 및 液滴粘度 分布 등을 측정하여 実驗結果와 誘導된 式의 結果를 比較検討하였다.

2. 理論的 考察

球形 固体粒子의 부피濃度가 매우 稀薄한 浮游系에 대하여 Einstein[12, 13]은 粒子 주위의 層流에 緩曲에 따른 速度勾配의 증가를 고려하여 浮游系의 相對粘度에 관한 다음 理論式을 誘導하였다.

$$\mu_r = \frac{\mu_s}{\mu_c} = 1 + 2.5\Phi, (\Phi \rightarrow 0) \quad (1)$$

여기서, Φ 는 溶液 내의 固体粒子의 부피濃度, μ_r 은 浮游系의 相對粘度, μ_s 는 浮游系의 有効粘度, μ_c 는 連續相의 粘度를 의미한다.

高濃度의 浮游系에 까지 式(1)을 확장 적용하기 위하여서는 粒子間의 충돌 및 流体力学的 상호작용, 粒子의 回転, 두 個 또는 그 以上의 粒子間의 結合現象등을 고려하여야 한다. 그러나 무질서한 形태를 지니고 있는 高濃度의 浮游系를 간단한 模型으로 表現할 수 없는 것이 이系의 動特性에 대한 理論을 定立하는데 있어서 가장 어려운 점이다. 지금 까지 發表된 高濃度의 浮游系에 대한 相對粘度式은 粒子間의 相互作用을 고려한 reflection technique과 cell 모형을 이용하여 式(1)을 확장시킴으로써 얻은 準理論式들이다[6~8, 14~19]. 이 式들 중에서 가장 대표적인 式은 다음과 같이 表現되는 指數式이다.

$$\mu_r = \exp \left[\frac{2.5\Phi}{1 - \Phi} \right] \quad (2)$$

固体粒子대신 液滴이 分散되어 있는 경우에는 液滴의 变形과 境界條件를 정확히 규명할 수 없기 때문에 相對粘度에 관한 理論式을 세우기가 거의 불가능하다. Taylor[9]는 거의 球形을 유지할 수 있을 정도로 충분히 작은 液滴, 接線 方向만의 应力傳達, 界面에서는 미끄러짐이 없다는 조건하에서 매우 낮은 濃度의 混合溶液系에 대하여 式(1)을 理

論的으로 확장시켜 다음 式을 誘導하였다.

$$\mu_r = 1 + 2.5 \Phi \left[\frac{0.4 + \mu_d / \mu_c}{1 + \mu_d / \mu_c} \right], (\Phi \rightarrow 0) \quad (3)$$

여기서, μ_d 는 分散相의 粘度를 의미한다.

Oldroyd[10, 11]는 均一한 球形의 液滴들로 이루어진 混合系에 대하여 液滴 내부의 循環은 물론界面에서의 部分 循環까지 고려하여 式(3)을 다음과 같이 理論的으로 확장하였다.

$$\mu_r = 1 + 2.5 \Phi \left[\frac{2/5 \mu_c + \mu_d + 4/5 (2s + 3\sigma) / d}{\mu_c + \mu_d + 4/5 (2s + 3\sigma) / d} \right], (\Phi \rightarrow 0) \quad (4)$$

위의 式에서 d 는 液滴粒度를 의미하며, s 는 界面에서의 二次元的剪斷粘度, σ 는 界面의 面積粘度를 의미한다.

本研究에서는 分散相의 부피濃度 뿐만 아니라 液滴粒度 및 分布가 相對粘度에 미치는 영향을 고려하기 위하여 分散系를 다음과 같이 解析하였다.

일정한 温度에서 임의의 液滴分布를 形成하고 있는 液-液 分散系의 分散相의 全 液滴은 液滴의 크기가 서로 다른 여러 個의 群으로 形成되어 있으며, 群내에 포함되어 있는 液滴은 크기가 동일하며 부피濃度는 매우 稀薄하다고 解析하였다. 連續相에 分散相의 첫 液滴群이 添加된 分散系에 두번 째 液滴群이 添加될 때 처음 分散系를 두번 째 群에 대한 擬連續相으로 간주하였다. 이와 같은 방법으로, 임의의 液滴粒度 分布를 形成하고 있는 高濃度의 分散系는 각각의 擬連續相에 매우 적은 量의 分散相 液滴群들이 連鎖的으로 添加되어 이루어 진다고 解析하였다.

直径이 각각 d_1, d_2, \dots, d_{i-1} 인 分散相의 液滴群과 連續相으로 이루어진 擬連續相에 直径 d_i 인 分散相의 粒子群이 添加된 分散系의 擬連續相에 대한 相對粘度는 式(5)와 같이 Oldroyd式으로 表現할 수 있다.

$$\mu_{r_i} = \frac{\mu_{\phi_i}}{\mu_{\phi_{i-1}}} = 1 + K_i \Phi_i \quad (5)$$

위의 式에서,

$$\mu_{\phi_0} = \mu_c \quad (6)$$

$$K_i = 2.5 \frac{0.4 \mu_{\phi_{i-1}} + \mu_{d_i}^*}{\mu_{\phi_{i-1}} + \mu_{d_i}^*} \quad (7)$$

$$\mu_{d_i}^* = \mu_d + k/d_i \quad (8)$$

$$k = \frac{4}{5} (2s + 3\sigma) \quad (9)$$

Φ_i 는 直径 d_i 에서 d_i 까지의 分散相의 液滴群과 連續相으로 形成된 分散系에서 直径 d_i 의 液滴群이 차지하는 부피分率이고 $\mu_{d_i}^*$ 는 이 分散系의 有効粘度이다. 또한 式(7)의 K_i 를 μ_c 項까지 전개하면 다음과 같이 된다.

$$\begin{aligned} K_i &= 2.5 \frac{0.4 \mu_{\phi_{i-2}} [1 + K_{i-1} \Phi_{i-1}] + \mu_{d_i}^*}{\mu_{\phi_{i-2}} [1 + K_{i-1} \Phi_{i-1}] + \mu_{d_i}^*} \\ &= 2.5 \frac{0.4 \mu_{\phi_{i-3}} [1 + K_{i-2} \Phi_{i-2}] [1 + K_{i-1} \Phi_{i-1}] + \mu_{d_i}^*}{\mu_{\phi_{i-3}} [1 + K_{i-2} \Phi_{i-2}] [1 + K_{i-1} \Phi_{i-1}] + \mu_{d_i}^*} \\ &= 2.5 \frac{0.4 \mu_c \prod_{j=1}^{i-1} [1 + K_j \Phi_j] + \mu_{d_i}^*}{\mu_c \prod_{j=1}^{i-1} [1 + K_j \Phi_j] + \mu_{d_i}^*} \end{aligned} \quad (10)$$

各 液滴群의 부피分率 $\Phi_i \rightarrow 0$ 인 조건을 위 式(10)에 적용하면 K_i 는 다음 式으로 表現된다.

$$K_i \approx \frac{0.4 \mu_c + \mu_d + k/d_i}{\mu_c + \mu_d + k/d_i} \quad (11)$$

위의 式(11)를 이용하면, n 個의 液滴群을 内包하고 있는 分散系에서 連續相에 대한 分散系의 相對粘度 式은 다음 式으로 表現된다.

$$\frac{\mu_{\phi n}}{\mu_c} = \frac{\mu_{\phi n}}{\mu_{\phi 0}} = \prod_{j=1}^n \mu_{r_j} = \prod_{j=1}^n (1 + K_j \Phi_j), (\Phi_j \rightarrow 0) \quad (12)$$

3. 実験

前章에서 提示한 物理的 模型의 타당성을 검토하기 위하여 Fig. 1과 같은 裝置를 사용하여 비교적 안정한 toluene/glycerin 分散系에서 有効粘度와 分散相의 濃度 및 液滴粒度 分布를 측정하였다. 측정에 사용된 搅拌槽은 4l 용량의 원통형 유리 용기이고, 搅拌 効果를 높이기 위하여 4개의 Baffle을 設置하였다. 分散系의 有効粘度에 미치는 温度 변화의 영향을 줄이기 위하여 搅拌槽을 恒温槽内에 設置하고, 温度調節機를 이용하여 恒温槽의 温度를 일정하게 유지시켰다. 그結果 모든 측정이 진행되는 동안 恒温槽内の 分散系의 温度는 30±2°C의 범위 내에서 일정하게 유지되었다.

分散相인 toluene과 連續相인 glycerin의 부피比를 調節하여 分散系를 만드므로써 分散相의 부피濃度를 임의로 변화시켰고, 일정한 分散相의 濃度

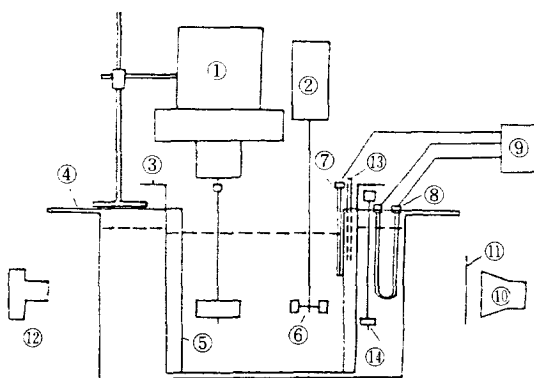


Fig. 1. Experimental setup.

1. Brookfield viscometer
2. Universal motor(220V/500W)
3. Agitated vessel
4. Water bath with its cover
5. Four baffles
6. Turbine impeller with 6-bladed disk
7. Thermocouple
8. Heater(110V/500W)
9. Thermocontroller
10. Lamp(110V/500W)
11. Tracing papers
12. Camera
13. Thermometer
14. Impeller

에서攪拌強度를 조절하여分散系를 만드므로써液滴粒度를변화시켰다.分散系의有効粘度는 Brookfield RVF粘度計의 #1 Spindle을 이용하여 10 rpm의剪斷變形率에서 측정하였다.液滴粒度分布의 측정을 위하여 Mok과 Treybal [21-23]에 의해 사용되었던 방법을 개선하여焦點深度를 매우 않게 조정한 Cannon TLb 카메라로攪拌槽내벽부위에設置된基準線을焦點center으로하여有効粘度측정과 동시에分布狀態를촬영하였다.이때,基準線으로는直徑 158 μ 으로均一한銅線을 사용하였다.현상된 필름을 20배 정도로 확등기를 이용하여 확대시킨 후, 확대된基準線의直徑과焦點이 확실하게 잡힌液滴들의粒度를 측정하였고 아울러 그分布를 측정하였다.

分散相과連續相사이의物質傳達効果는 Barna-^a[1]에 의하여 시도했던방법으로,各相이 서로飽和된狀態에서分散系를만드므로써 배제하였다. Toluene과 glycerin이相溶하도록 충분히攪拌시킨 후, 12-13시간정도 방치시켜相分離시킴으로써飽和状态의兩相을 만들었다.液-液分散状态에서는分散相의濃度가증가함에따라相變換과 Non-Newtonian習性 및 불규칙적이고非可逆의現象들이나타난다고 알려져 있다[1, 8].이 영향을 없애기 위하여分散相의濃度를0.25以下에서변화시켰다.

500cc와 4l의용기에서 25°C와 35°C사이의여러溫度에걸쳐측정한 순수한 95%glycerin의粘度들을文獻値와비교함으로써粘度計와用기의 확대에 따른効果를각각보정하였다.

相對粘度의計算을위해toluene에포화된glycerin의粘度를27°C와32°C사이에서측정하여溫度와의關係를図示함으로써30°C에서連續相의粘度를구하였다.

攪拌槽內에서攪拌機에의한流体回転이粘度측정에미치는干渉効果를조사하기위하여,攪拌機의回転速度를600rpm에서1000rpm까지변화시키면서攪拌機를멈춘후시간에따른粘度변화를측정하였다.그結果攪拌機를멈춘다음10내지15초후에는干渉効果를무시할수있었다.

일정한濃度의分散系에서液滴들이파괴되고再結合하는과정이平衡에도달하도록일정한回転速度로20분간攪拌시키고,攪拌을멈춘지15초후에液滴粒度와有効粘度를동시에측정하였다.이때,Non-Newtonian習性을조사하기위하여粘度計의剪斷變形率을4, 10, 20 rpm등으로변화시키면서粘度를측정하여10 rpm에서의측정치를기준으로誤差를計算하였다.동일한조건에서위의측정과

Table 1. Physical properties of the materials used at 30°C.

Material	Produced by	Grade	Density (g/cc)	Viscosity (cp)
Glycerin	Jensei Chem. Co. (Japan)	E. P.	1.396	629
Toluene	Jensei Chem. Co. (Japan)	E. P.	0.874	0.526
Glycerin saturated with Toluene	-	-	1.443	442.185
Toluene saturated with Glycerin	-	-	0.849	0.458

정을 두번 반복한 뒤, 分散相의 부피 濃度와 搅拌 強度를 변화시키면서 측정과정을 반복하였다.

Table 1은 本研究에서 사용한 toluene과 glycerin의 30°C에서의 物理的 性質을 나타내고 있다.

4. 結果 및 檢討

單一 相의 粘度를 粘度計의 剪斷 变形率의 변화에 따라 측정한 結果들로부터 粘度計의 正確度가 $\pm 2\%$ 임을 발견하였다. Toluene/glycerin分散系에서 剪斷 变形率의 변화에 따라 有効粘度를 측정한 結果, 分散相의 濃度가 증가함에 따라 分散系는 점차 擬可塑性 流体의 特性을 나타내었으나 分散相의 濃度가 0.25以下에서는 剪斷 变形率의 증가에 따른 有効粘度의 감소는 粘度計의 機械的 誤差範圍 内에서 이루어졌다. 그러므로 分散相의 濃度가 0.25以下인 toluene/glycerin分散系는 Newtonian流体로 취급할 수 있었다.

Table 2는 toluene/glycerin分散系의 有効粘度, 粒度分布등의 実驗結果를 나타내고 있다. 分散相의 液滴 粒度는 40 μ 에서 600 μ 사이에 分布되어 있었

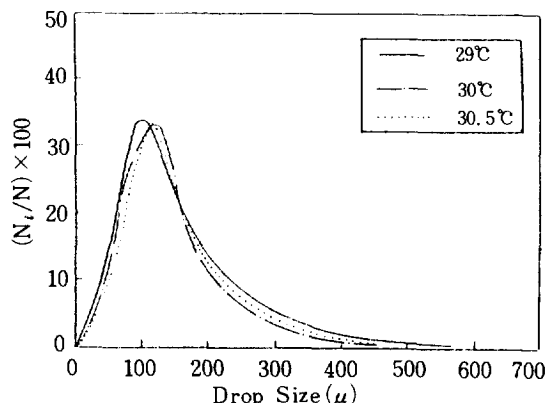


Fig. 2. Drop size distribution with change in temperature, at $\phi = 0.15/900 \text{ rpm}$.

고 그 分布는 分散相의 부피 濃度와 搅拌 強度에 따라서 변하였다. 온도와 液滴粒度分布의 関係를 조사하기 위하여 小幅의 温度變化에 따라 測定한 液滴粒度分布를 Fig. 2와 같이 図示하였다. 그림에서 보는 바와같이 온도 이외의 다른 條件을 同一하게 하고 測定한 分散系의 液滴粒度分布는 小幅의 温度变化에 관계없이 일정하였다.

本研究에서 提示한 液-液 分散系의 相對粘度

Table 2. Number of drops having mean diameter d_m for toluene-glycerin dispersion.

Φ	0.05	0.05	0.05	0.05	0.1	0.1	0.1	0.1	0.15	0.15	0.15	0.15	0.2	0.2	0.25	0.25		
d_m	42.73	13	25	12	8	8	2	8	12	3	12	3	7	6	3	2	2	3
85.46	26	28	51	49	37	33	52	47	34	27	25	40	37	44	32	36	44	
128.19	22	23	24	33	31	35	24	22	34	16	32	27	28	12	28	26	18	
170.92	16	8	6	7	26	11	8	12	14	14	13	11	14	10	14	14	14	
213.65	9	5	3	5	5	7	2	1	9	11	9	5	6	8	8	7	9	
256.38	6	4	1	-	3	6	3	2	4	8	6	4	5	3	7	6	4	
299.11	-	3	1	-	1	5	-	2	-	3	2	2	4	7	4	5	2	
341.84	4	2	-	-	1	1	2	-	1	3	4	1	4	5	2	3	2	
384.84	-	1	-	-	1	1	1	-	-	2	3	1	-	1	2	1	2	
427.30	-	1	-	-	1	-	1	-	-	1	1	-	3	1	-	1	-	
470.03	-	-	-	-	1	-	-	-	-	1	1	-	-	1	-	-	-	
512.75	-	-	-	-	1	-	-	-	-	1	-	-	-	-	-	-	-	
555.48	-	-	-	-	1	-	-	-	-	-	-	-	-	-	-	-	-	
598.21	-	-	-	-	-	-	-	-	-	-	-	-	-	-	-	-	-	
μ_c	426.41	422.19	437.17	426.41	426.47	422.19	426.41	422.19	422.19	424.29	422.19	422.19	422.19	422.19	426.41	426.41	424.29	
μ_s	452.90	442.37	461.17	446.03	476.21	481.47	486.74	469.44	469.44	508.30	502.53	501.03	497.27	538.63	541.63	589.01	598.84	

式(12)에서 $K, \Phi_s \ll 1$ 이므로 計算의 편의를 위하여 式(12)의 $K_s \Phi_s$ 의 2次項 이하를 무시하면 다음 式과 같이 된다.

$$\frac{\mu_{sp}}{\mu_c} = \prod_{j=1}^n (1 + K_j \Phi_j) \approx 1 + \sum_{j=1}^n K_j \Phi_j$$

$$= 1 + 2.5 \sum_{j=1}^n \left[\frac{0.4\mu_c + \mu_a + k/d_j}{\mu_c + \mu_a + k/d_j} \right] \Phi_j \quad (13)$$

Table 1의 μ_c 와 μ_a 의 값과 Table 2의 実驗值 및 式(13)을 이용하여 最小自乘法에 의하여 k 를 구하면 $k = 1.696 \text{cp} \cdot \text{cm}$ 를 얻는다.

Fig. 3에 式(1), (2), (3)과 本研究에서 얻어진 式(13)에 의한結果를 実驗值와 비교하였다. 그림에서 보는 바와 같이 固-液 浮游系에 의한 相對粘度의 값은 測定值 보다 陽의 방향으로 크게 벗어났으며, 式(3)에 의한 相對粘度值는 分散系의 濃度가 0.05인 경우에는 実測值를 잘 나타내고 있으나 부피濃度가 증가할수록 陰의 방향으로 벗어나고

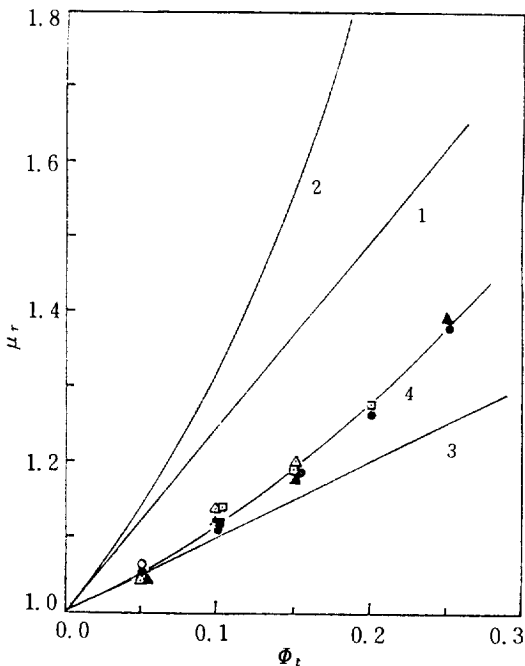


Fig. 3. Correlation of relative viscosity to volume fraction of dispersed phase: toluene (dispersed)-glycerin.
1=Einstein equation 2=Exponential model
3=Taylor's equation 4=Proposed model

Experimental data; ■=600rpm, ○=700rpm,
△=800rpm, □=900rpm, ●=1000rpm, ▲=1100 rpm

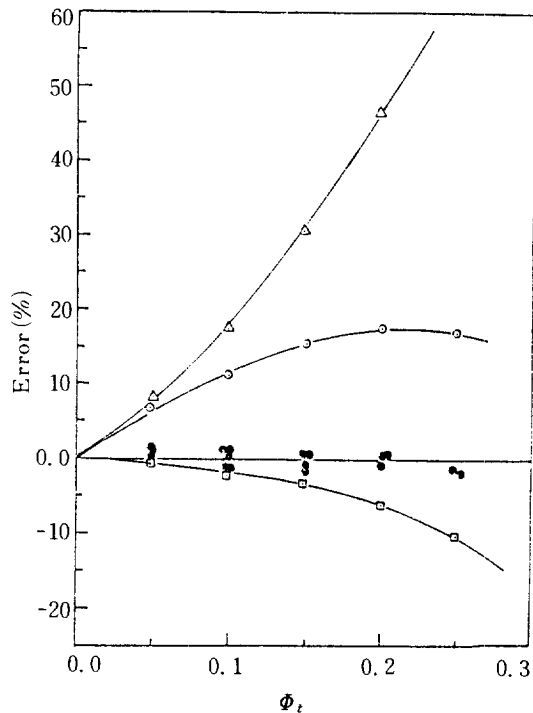


Fig. 4. Error(%) of various equations from experimental data.

△=Exponential model
○=Einstein's equation
□=Taylor's equation
●=Proposed model

있음을 알 수 있다. 이에 반하여 式(13)에 의한 計算值는 分散系의 부피濃度 25%까지는 実測值를 잘 대비하고 있다.

Fig. 4는 式(14)로 정의된 誤差 %를 각 方程式에適用한結果이다.

$$\text{Error \%} = \frac{\mu_{real} - \mu_{rm}}{\mu_{rm}} \times 100 \quad (14)$$

위式에서,

μ_{real} =計算된 相對粘度值

μ_{rm} =測定된 相對粘度值

이結果에 의하면 式(13)에 의한 誤差는分散相인 toluene의 부피濃度가 25%까지는 증가와 감소의現象을 나타내지 않았으며, 最大絕對誤差 2.06%, 最小絕對誤差 0.24%, 平均絕對誤差 1.109%를 나타내었다.

式(13)으로부터 toluene/glycerin分散系의 分散相液滴粒度가 系의 流動現象에 미치는 영향을 살펴보

면 $d_i \rightarrow 0$ 인 경우에는 $K_1 = 2.5$ 가 되어 式(13)은 Einstein式(1)과 같이 되어 液滴들은 固体粒子와 같이 舉動하며 d_i 가 600μ 이상이 되면 K_1 의 값은 다음 式(15)와 같이 되어 Taylor式(3)과 같이 된다.

$$K_1 = 2.5 \frac{0.4\mu_c + \mu_d}{\mu_c + \mu_d} \quad (15)$$

한편하면 液滴의 粒径이 600μ 이상이 되면 分散系의 分散相과 連續相 界面에서의 循環이 相對粘度에 미치는 영향은 液滴 内部의 循環에 의한 영향에 비하여 대단히 작다는 것을 알 수 있다.

5. 結論

分散相의 液滴이 비교적 크고 불안정한 toluene/glycerin의 分散系에서 分散相인 toluene의 부피濃度와 液滴粒度分布가 系의 相對粘度에 미치는 영향에 대한 研究結果를 綜合하면 다음과 같다.

Toluene/glycerin分散系에서 分散相인 toluene의 液滴을 同一한 粒径으로 이루어진 液滴群으로 나누고 각 液滴群이 分散系의 相對粘度에 미치는 영향을 Oldroyd의 相對粘度式으로 解析함으로써 다음과 같은 π 函数를 얻었다.

$$\mu_r = \prod_{i=1}^n (1 + K_i \Phi_i), \quad (\Phi_i \rightarrow 0)$$

Toluene의 부피濃度를 5%에서 25%까지 변화시켜가면서 実測한 相對粘度值와 Einstein의 相對粘度值, 指數函數式, Taylor의 相對粘度式 및 本研究의 式의 計算值를 비교하여 본 結果, Einstein式과 指數式은 0%와 65% 사이의 誤差를 나타내었으며, Taylor式은 0%에서 -10% 사이의 誤差分布를 나타내었고 本研究의 式은 平均絕對誤差 1.109%, 最大絕對誤差 2.06%를 나타내었다.

NOMENCLATURE

- a : experimental constant, dimensionless
- d, d_i : diameters of drops, cm
- d_m : mean diameter of drops, cm
- f_i : volume fraction of drops having diameter d_i in dispersed phase, dimensionless
- K, K_1, K_2 : constants, dimensionless
- k : viscosity property of the interface be-

tween the continuous phase and the dispersed phase, cp·cm

- n_i : number of drops having diameter d_i , dimensionless
- S : two dimension shear viscosity of the interface, cp·cm
- V_i : volume of drops having diameter d_i in a dispersion, cm
- μ_c : viscosity of the continuous phase, cp
- μ_d : viscosity of the dispersed phase, cp
- μ_d^* : effective viscosity of the dispersed phase, cp
- μ_r : relative viscosity of dispersion, dimensionless
- μ_s : effective viscosity of dispersion, cp
- Φ, Φ_i : volume concentration of the dispersed phase, dimensionless
- Φ_i : fractional volume concentration of the dispersed phase, dimensionless
- σ : area viscosity of the interface, cp·cm

REFERENCES

1. Barnea, E.: *Ind. Eng. Chem. Fundam.*, **120**, 15 (1976).
2. Matsumoto, S. and Sherman, P.: *J. Colloid and Interface Sci.*, **525**, 30 (1969).
3. Djakovic, L., Dovic, P. and Radivojevic, R.: *Kolloid-Z.*, **324**, 244 (1971).
4. Djakovic, L., Dovic, P. and Kler, V.: *Colloid & Polymer Sci.*, **907**, 254 (1976).
5. Djakovic, L. and Dovic, P.: *Colloid and Polymer Sci.*, **1177**, 256 (1978).
6. Mooney, M.: *J. Colloid Sci.*, **162**, 6 (1951).
7. Thomas, D.G.: *J. Colloid Sci.*, **267**, 20 (1965).
8. Falco, J.W., Walker, R.D. and Shah, D.O.: *AIChE J.*, **510**, 20 (1974).
9. Taylor, G.I.: *Proc. Roy. Soc. Ser. A.*, **41**, 138 (1931).
10. Oldroyd, J.G.: *Proc. Roy. Soc. Ser. A.*, **122**, 218 (1953).
11. Oldroyd, J.G.: *Proc. Roy. Soc. Ser. A.*, **567**, 232 (1955).
12. Einstein, A.: *Ann. Phys.*, **286**, 16 (1906).

13. Einstein, A.: *Ann. Phys.*, **591**, 34 (1911).
14. Guth, Eugene, and Simha, R.: *Kolloid-Z.*, **266**, 74 (1936).
15. Saito, N.: *J. Phys. Soc. (Japan)*, **4**, 5 (1950).
16. Vand, V.: *J. Phys. & Colloid Chem.*, **277**, 52 (1948).
17. Manley, R. St. J. and Marson, S.G.: *Can. J. Chem.*, **763**, 33 (1955).
18. Happel, M.: *J. Appl. Phys.*, **1288**, 28 (1957).
19. Barnea, E. and Mizrahi, J.: *Chem. Eng. J.*, **171**, 33 (1973).
20. Leviton, A. and Leighton, A.: *J. Phys. Chem.*, **71**, 40 (1936).
21. Mok, Y.I. and Treybal, R.E.: *AIChE J.*, **4**, 17 (1971).
22. Mok, Y.I. and Treybal, R.E.: 67th National AIChE Symp., Atlanta, Ga. (1970).
23. Mok, Y.I.: Ph.D. Dissertation, N.Y.U., New York, (1968).
24. Kim, K.J.: M. Eng. Thesis, Ajou Univ., Suwon, Korea (1983).